

# طیف تکانه ذرات باردار در رویدادهای مونت کارلو با استفاده از نابودی الکترون - پوزیترون در گستره انرژی

$$\sqrt{S} = 60 - 200 \text{ GeV}$$

غلامی، زهرا<sup>۱</sup>؛ زمردیان، محمد ابراهیم<sup>۱</sup>

<sup>۱</sup>گروه فیزیک، دانشکده علوم، دانشگاه فردوسی مشهد، مشهد

## چکیده

در این مقاله، توزیع تکانه ذرات باردار را در واکنش تشکیل هادرон توسط نابودی زوج الکترون - پوزیترون مورد مطالعه قرار می‌دهیم. در این بررسی، از داده‌های تولید شده بوسیلهٔ برنامهٔ مونت کارلوی PYTHIA استفاده شده است. طیف تکانه هادرونی با پیش‌بینی‌های نظری در زمینهٔ محاسبات تقریب جملهٔ لگاریتمی غالب اصلاح شده (MLLA) تحت فرض دوگانگی هادرون پارتون موضعی (LPHD) مقایسه می‌شود. بررسی‌ها شامل اندازه‌گیری  $\xi_p^*$  در رویدادهای مونت کارلو برای نابودی زوج هستند. پارامتر  $\xi_p^*$  را برای انرژی‌های مرکز گوناگون محاسبه می‌کنیم. وابستگی  $\xi_p^*$  به انرژی مرکز جرم بوسیلهٔ نظریهٔ دینامیک کوانتومی رنگ اختلالی (PQCD) توصیف می‌شود. در نهایت با استفاده از  $\xi_p^*$  بدست آمده مقادیر پارامتر مقیاس  $QCD$  مؤثر  $\Lambda_{\text{eff}}$  و ثابت جفت شدگی روان  $\alpha_s$  را محاسبه می‌کنیم.

Charged particle momentum spectra in monte carlo events for electron – positron annihilation at center of mass energies  $\sqrt{S} = 60 - 200 \text{ GeV}$

Gholami, Zahra<sup>1</sup>; Zomorrodian, Mohammad Ebrahim<sup>1</sup>

<sup>1</sup>Department of physics, Faculty of sciences, Ferdowsi university of Mashhad, Mashhad

## Abstract

In this paper, the charged particle momentum distribution in the Hadron production process by electron – positron annihilation will be studied. While data generated by the Monte Carlo program has been used, hadron momentum spectra with theoretical predictions, including modified leading log approximation (MLLA) under the assumption of Local Parton Hadron Duality (LPHD) are compared. Studies are involving  $\xi_p^*$  measurements in Monte Carlo events for pair annihilation.  $\xi_p^*$  parameters for different center of mass energies will be calculated.  $\xi_p^*$  dependence to center of mass energy is described by perturbative QCD. Finally, the effective QCD scale parameter  $\Lambda_{\text{eff}}$  and running coupling constant  $\alpha_s$  from  $\xi_p^*$  value is calculated.

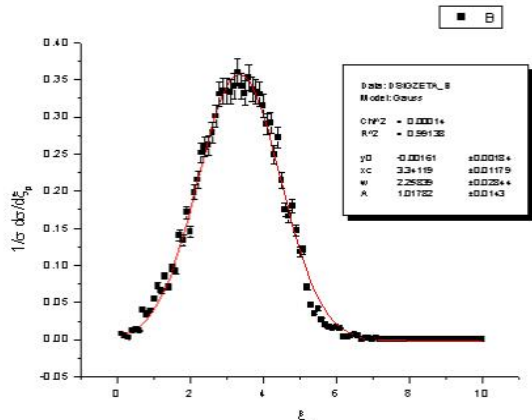
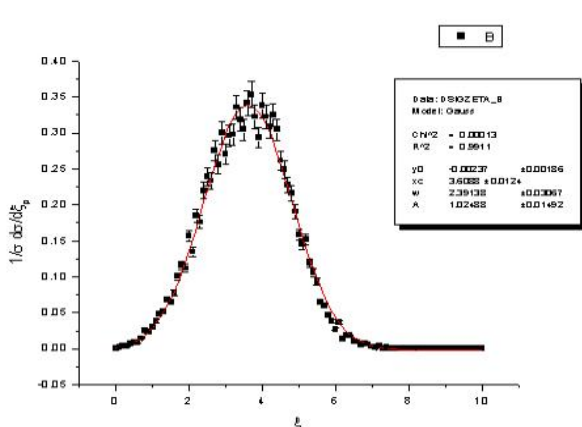
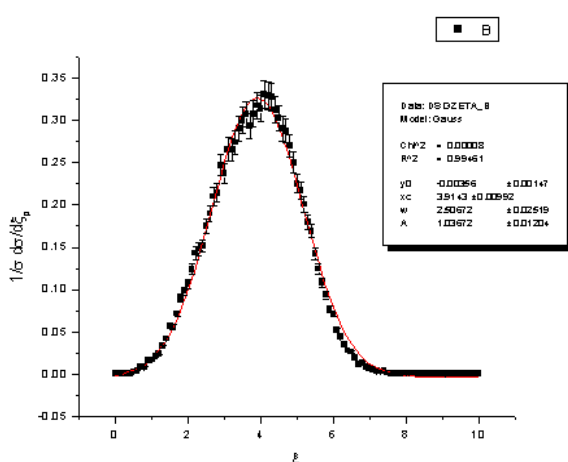
PACS No. 13

اختلالی می‌تواند تحت فرض دوگانگی هادرون پارتون موضعی

مقدمه

(LPHD) [1] و بر اساس تقریب جملهٔ لگاریتمی غالب اصلاح شده (MLLA) [2] پیش‌بینی‌های تحلیلی کمی خوبی

فرآیند تولید هادرون از نابودی الکترون - پوزیترون برای بررسی نظریه کوانتومی رنگ فرآیندی بسیار ارزشمند است. QCD

شکل ۱: طیف  $\xi_p$  برای انرژی مرکز جرم 60 GeVشکل ۲: طیف  $\xi_p$  برای انرژی مرکز جرم 91.2 GeVشکل ۳: طیف  $\xi_p$  برای انرژی مرکز جرم 133 GeV

ارائه دهد. بسیاری از نتایج تجربی گزارش شده از آزمایش های با انرژی بالا، با پیش بینی های PQCD به خوبی سازگار است. رویدادهای هادرонی توسط برنامه های مونت کارلوی JETSET و PYTHIA و HERWIG و LUARLW شوند [۳, ۴, ۵, ۶].

### طیف $\xi_p$

طیف تکانه ای هادرонی ذرات باردار توسط تابع زیر تعریف می شود [۲]:

$$\xi_p = -\ln(2p/\sqrt{s}) \quad (1)$$

که در آن  $p$  تکانه ای ذرات باردار و  $\sqrt{s}$  انرژی مرکز جرم است. محاسبات نظری پیش بینی می کنند شکل توزیع  $\xi_p$  یک توزیع خمیده بسیار نزدیک به توزیع گاویستی است.

معادله دارای یک بیشینه در هر طیف  $\xi_p$  است که با  $\alpha_{\xi_p}$  نشان داده می شود. وابستگی پارامتر  $\alpha_{\xi_p}$  به انرژی مرکز جرم بوسیله  $\alpha_{\xi_p} = \frac{1}{2} \ln(\frac{\sqrt{s}}{m})$  توصیف می شود. با بررسی کمی LPHD+MLLA و استفاده از رفتار  $\alpha_{\xi_p}$  به همراه برازش آن می توان  $\alpha_{\xi_p}$  را محاسبه کرد.

موقعیت قله می تواند به طور مستقیم از طیف مشخص شود. این کار بوسیله ای برازش طیف به یک تابع گاویستی [۷] یا شبیه گاویستی صورت می پذیرد. در تقریب اول توزیع  $\xi_p$  گاویستی است اما برازش به یک تابع شبیه گاویستی نتایج دقیق تری ارائه خواهد داد. با برازش طیف  $\xi_p$  توسط نرم افزار Origin به نتایج زیر دست یافتیم.

## برآورد $\xi_p^*$

محاسبات LPHD+MLLA پیش بینی می کند که توزیع  $\xi_p^*$  به یک مقیاس QCD مؤثر  $\Lambda_{eff}$  وابسته است. وابستگی موقعیت قله به انرژی مرکز جرم به صورت زیر بیان می شود [8] :

$$\xi_p^* = 0.5y + \sqrt{cy} + c \quad (2)$$

که در آن:

$$y = \ln\left(\frac{0.5\sqrt{s}}{\Lambda_{eff}}\right) \quad (3)$$

مقادیر  $c$  برای سه طعم فعال برابر  $0/2915$  و برای چهار طعم فعال برابر  $0/3190$  می باشد.

با مشخص کردن قله نمودار با استفاده از رابطه (2)،  $y$  را محاسبه کرده و در نتیجه با استفاده از رابطه (3)،  $\Lambda_{eff}$  را بدست می آوریم.

مقیاس  $\Lambda_{eff}$  بوسیله ای رابطه ای زیر به ثابت جفت شدگی روان مربوط می شود:

$$\alpha_s = \frac{12\pi}{(33 - 2n_f)\ln\left(\frac{\mu^2}{\Lambda_{eff}^2}\right)} \quad (4)$$

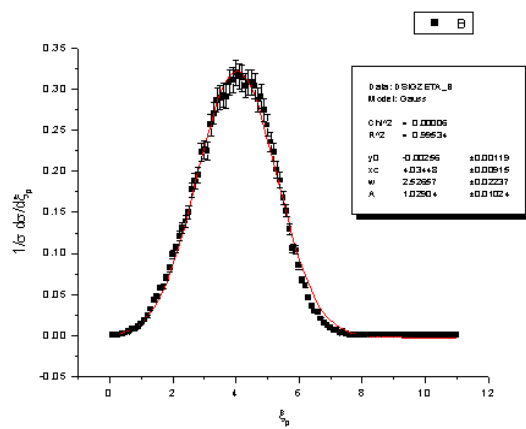
در این رابطه  $n_f$  تعداد طعم کوارک های فعال و  $\mu$  نصف انرژی مرکز جرم است. با استفاده از این رابطه  $\alpha_s$  را در بخش بعدی محاسبه می کنیم.

### نتایج فیزیکی:

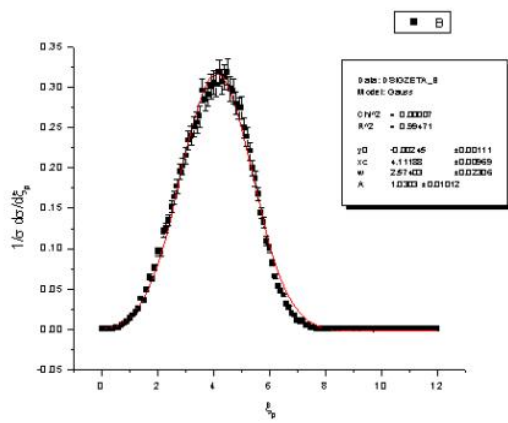
جدول 1 مقادیر به دست آمده برای  $\xi_p^*$  را به ازای انرژی های مختلف نشان میدهد. همان گونه که از جدول پیداست با افزایش انرژی، کمیت فوق به مقدار اندکی افزایش می یابد. همین نتیجه بر نمودار های 1 تا 6 حاکم است.

جدول 1: مقادیر بدست آمده برای  $\xi_p^*$  با استفاده از برازش به یک تابع گاوسی

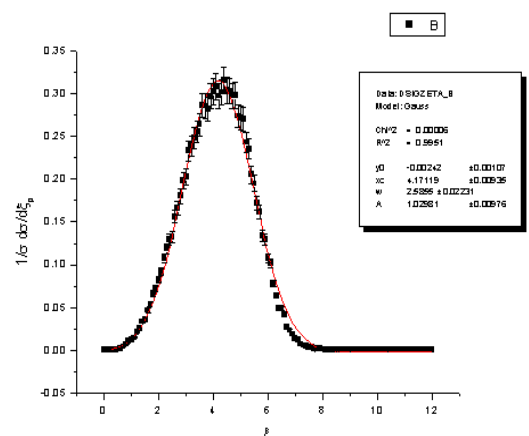
$E_{cm}(GeV)$	$\xi_p^*$
60	$3/3412 \pm 0/01179$
91/2	$3/6088 \pm 0/0124$
133	$3/9143 \pm 0/00992$
161	$4/0345 \pm 0/00915$
183	$4/1119 \pm 0/00969$
200	$4/1712 \pm 0/00935$



شکل 4: طیف  $\xi_p^*$  برای انرژی مرکز جرم 161 GeV



شکل 5: طیف  $\xi_p^*$  برای انرژی مرکز جرم 183 GeV



شکل 6: طیف  $\xi_p^*$  برای انرژی مرکز جرم 200 GeV

ایم. در این بررسی، از داده‌های تولید شده بوسیله‌ی برنامه‌های مونت کارلو استفاده شده است. طیف تکانه هادرتونی با پیش‌بینی‌های نظری در زمینه‌ی محاسبات تقریب جمله‌ی لگاریتمی غالب اصلاح شده (MLLA) و تحت فرض دوگانگی هادرتون پارتون موضعی (LPHD) مقایسه می‌شود. بررسی‌ها شامل اندازه‌گیری  $\alpha_s^*$  در رویدادهای مونت کارلو برای نابودی زوج هستند. پارامتر  $\alpha_p^*$  را برای انرژی‌های مرکز جرم گوناگون محاسبه می‌کنیم. وابستگی  $\alpha_p^*$  به انرژی مرکز جرم بوسیله‌ی نظریه‌ی دینامیک کوانتمی رنگ اختلالی (PQCD) توصیف می‌شود. همچنین مقادیر  $\Lambda_{eff}$  و  $\alpha_s$  به ازای انرژی‌های گوناگون استخراج شده اند (جدول‌های ۱ تا ۳). شایان ذکر است که نتایج بدست آمده با PQCD به خوبی سازگار است.

### مراجع

- [۱] Ya. I. Azimov, Yu. L. Dokshitzer, V. A. Khoze and S. I. Troyan, Phys. Lett. **B165** (1985) 147; Z. Phys. **C27** (1985) 65.
- [۲] V. A. Khoze and W. Ochs, Int. J. Mod. Phys. **A12** (1997) 2949.
- [۳] T. Sjostrand, Computer Physics Communication **82** (1994) 74.
- [۴] H. M Hu *et al.*, High Ener. Phys. And Nucl. Phys., **25** (2001) 1035.
- [۵] G. Marchesini *et al.*, Comput. Phys. Commun. **67** (1992) 465.
- [۶] T. Sjöstrand *et al.*, Comput. Phys. Commun. **135** (2001) 238.
- [۷] Yu.L. Dokshitzer, V.S. Fadin and V.A. Khoze, Phys. Lett. **B115** (1982) 242.
- [۸] J. Z. Bai *et al.*, “Measurement of Inclusive Momentum Spectra and Multiplicity Distribution of Charged Particles”, (hep-ex/0306055v2)

اینک به محاسبه پارامترهای QCD می‌پردازیم. جدول ۲ مقادیر به دست آمده برای  $\alpha_s$  و  $\Lambda_{eff}$  به ازای سه طعم فعال نشان می‌دهد. ملاحظه می‌کنیم که مقادیر به دست آمده برای ثابت پیوندی به ازای انرژی‌های مختلف از مرتبه ۰/۱ است و با افزایش انرژی،  $\alpha_s$  روندی کاهشی از خود نشان می‌دهد که با برآوردهای QCD همخوانی کامل دارد.  $\Lambda_{eff}$  نیز در گستره قابل قبول برای این کمیت قرار دارد و با افزایش مقادیر انرژی مرکز جرم مقادیر این کمیت کاهش می‌یابد که با مقادیر به دست آمده از آزمایشات دیگر سازگار است.

جدول ۲: مقادیر بدست آمده‌ی  $\alpha_s$  و  $\Lambda_{eff}$  برای سه طعم فعال.

$E_{cm}(GeV)$	$\Lambda_{eff}(MeV)$	$\alpha_s$
60	$227 \pm 4/302$	$0/143 \pm 0/0005$
91/2	$224 \pm 4/501$	$0/131 \pm 0/0005$
133	$199 \pm 3/226$	$0/120 \pm 0/0003$
161	$198 \pm 2/969$	$0/116 \pm 0/0003$
183	$198 \pm 3/151$	$0/113 \pm 0/0003$
200	$196 \pm 3/014$	$0/112 \pm 0/0003$

جدول ۳ نتایج به دست آمده را با وارد نمودن چهار طعم فعال نشان می‌دهد. باز دیگر مقادیر فوق با مدل QCD سازگار است. شایان ذکر است که خطای آمده در جدول‌ها مربوط به خطای محاسباتی است.

جدول ۳: مقادیر بدست آمده‌ی  $\alpha_s$  و  $\Lambda_{eff}$  برای چهار طعم فعال.

$E_{cm}(GeV)$	$\Lambda_{eff}(MeV)$	$\alpha_s$
60	$238 \pm 4/465$	$0/144 \pm 0/0006$
91/2	$235 \pm 4/677$	$0/143 \pm 0/0005$
133	$210 \pm 3/373$	$0/130 \pm 0/0004$
161	$209 \pm 3/106$	$0/126 \pm 0/0003$
183	$209 \pm 3/296$	$0/124 \pm 0/0003$
200	$208 \pm 3/169$	$0/122 \pm 0/0003$

### جمع‌بندی و نتیجه‌گیری

در این مقاله، توزیع تکانه ذرات باردار در واکنش تشکیل هادرتون توسط نابودی زوج الکترون – پوزیترون را مورد مطالعه قرار داده